



Министерство науки и высшего образования Российской Федерации  
Федеральное государственное бюджетное образовательное учреждение  
высшего образования  
«Московский государственный технический университет  
имени Н.Э. Баумана  
(национальный исследовательский университет)»  
(МГТУ им. Н.Э. Баумана)

---

ФАКУЛЬТЕТ «Информатика и системы управления»

КАФЕДРА «Программное обеспечение ЭВМ и информационные технологии»

### **Лабораторная работа № 4**

Дисциплина: Моделирование

Тема: Программно-алгоритмическая реализация моделей на основе дифференциальных уравнений в частных производных с краевыми условиями II и III рода.

Студент Мирзоян С. А.

Группа ИУ7-65Б

Оценка (баллы) \_\_\_\_\_

Преподаватель Градов В.М.

**Цель работы.** Получение навыков проведения исследований компьютерной математической модели, построенной на квазилинейном уравнении параболического типа.

Исследование проводится с помощью программы, созданной в лабораторной работе №4.

**Исходные данные.**

1. Значения параметров (все размерности согласованы)

$$k(T) = a_1(b_1 + c_1 T^{m_1}), \quad \text{Вт/см К},$$

$$c(T) = a_2 + b_2 T^{m_2} - \frac{c_2}{T^2}, \quad \text{Дж/см}^3\text{К}.$$

Порядки величин (как в лаб. работе №4):

$$a_1 = 0.0134, \quad b_1 = 1, \quad c_1 = 4.35 \cdot 10^{-4}, \quad m_1 = 1,$$

$$a_2 = 2.049, \quad b_2 = 0.563 \cdot 10^{-3}, \quad c_2 = 0.528 \cdot 10^5, \quad m_2 = 1.$$

$$\alpha(x) = \frac{c}{x - d}.$$

Порядки величин (как в лаб. работе №4):

$$\alpha_0 = 0.05 \text{ Вт/см}^2 \text{ К},$$

$$\alpha_N = 0.01 \text{ Вт/см}^2 \text{ К},$$

$$l = 10 \text{ см},$$

$$T_0 = 300 \text{ К},$$

$$R = 0.5 \text{ см},$$

2. Поток тепла  $F(t)$  при  $x = 0$

$$F(t) = \frac{F_{\max}}{t_{\max}} t \exp(-(t/t_{\max} - 1)), \quad \text{где } F_{\max}, t_{\max} - \text{амплитуда импульса потока и время её}$$

достижения (Вт/см<sup>2</sup> и с).

## Листинг

```
1. from numpy import arange
2. import matplotlib.pyplot as plt
3.
4. class Data:
5.     x0 = 0
6.     l = 10          # Длина стержня (см)
7.     R = 0.5         # Радиус стержня (см)
8.     Tenv = 300      # Температура окружающей среды (K)
9.     F0 = 100        # Плотность теплового потока (W / (см^2 * K))
10.     k0 = 0.1        # Коэффициент теплопроводности в начале стержня (W /
                        (см * K))
11.     kN = 0.2        # Коэффициент теплопроводности в конце стержня (W / (см
                        * K))
12.     alpha0 = 1e-2   # Коэффициент теплоотдачи в начале стержня (W / (см^2 *
                        K))
13.     alphaN = 9e-2  # Коэффициент теплоотдачи в конце стержня (W / (см^2 *
                        K))
14.     h = 1e-2
15.     bk = (kN * l) / (kN - k0)
16.     ak = - k0 * bk
17.     b_alpha = (alphaN * l) / (alphaN - alpha0)
18.     a_alpha = - alpha0 * b_alpha
19.
20.
21.     @staticmethod
22.     def k(x):
23.         return Data.ak / (x - Data.bk)
24.
25.     @staticmethod
26.     def alpha(x):
27.         return Data.a_alpha / (x - Data.b_alpha)
28.
29.     @staticmethod
30.     def Xn_plus_half(x):
31.         return (2 * Data.k(x) * Data.k(x + Data.h)) / \
32.             (Data.k(x) + Data.k(x + Data.h))
33.
34.     @staticmethod
35.     def Xn_minus_half(x):
36.         return (2 * Data.k(x) * Data.k(x - Data.h)) / \
```

```

37.             (Data.k(x) + Data.k(x - Data.h))
38.
39.     @staticmethod
40.     def p(x):
41.         return 2 * Data.alpha(x) / Data.R
42.
43.     @staticmethod
44.     def f(x):
45.         return 2 * Data.alpha(x) / Data.R * Data.Tenv
46.
47.
48.     def thomas_algorithm(A, B, C, D, K0, M0, P0, KN, MN, PN): # Tridiagonal
matrix algorithm
49.         # Initial values
50.         xi = [None, - M0 / K0]
51.         eta = [None, P0 / K0]
52.
53.         # Straight running
54.         for i in range(1, len(A)):
55.             x = C[i] / (B[i] - A[i] * xi[i])
56.             e = (D[i] + A[i] * eta[i]) / (B[i] - A[i] * xi[i])
57.
58.             xi.append(x)
59.             eta.append(e)
60.
61.         # print(xi)
62.         # print(eta)
63.
64.         # Reverse running
65.         y = [(PN - MN * eta[-1]) / (KN + MN * xi[-1])]
66.
67.         for i in range(len(A) - 2, -1, -1):
68.             y_i = xi[i + 1] * y[0] + eta[i + 1]
69.
70.             y.insert(0, y_i)
71.
72.         return y
73.
74.
75.
76.

```

```

77.
78.     def left_boundary_conditions():
79.         X_half = Data.Xn_plus_half(Data.x0)
80.         p1 = Data.p(Data.x0 + Data.h)
81.         f1 = Data.f(Data.x0 + Data.h)
82.
83.         p0 = Data.p(Data.x0)
84.         f0 = Data.f(Data.x0)
85.
86.         p_half = (p0 + p1) / 2
87.
88.         K0 = X_half + Data.h * Data.h * p_half / 8 + Data.h * Data.h * p0 / 4
89.         M0 = Data.h * Data.h * p_half / 8 - X_half
90.         P0 = Data.h * Data.F0 + Data.h * Data.h * (3 * f0 + f1) / 4
91.
92.         return K0, M0, P0
93.
94.
95.     def right_boundary_conditions():
96.         X_half = Data.Xn_minus_half(Data.l)
97.
98.         pN = Data.p(Data.l)
99.         pN1 = Data.p(Data.l - Data.h)
100.        fN = Data.f(Data.l)
101.        fN1 = (2 * Data.alpha(Data.l - Data.h)) / Data.R * Data.Tenv
102.
103.        KN = - (X_half + Data.alphaN * Data.h) / Data.h - Data.h * (5 * pN +
            pN1) / 16
104.        MN = X_half / Data.h - Data.h * (pN + pN1) / 16
105.        PN = - Data.alphaN * Data.Tenv - Data.h * (3 * fN + fN1) / 8
106.
107.        return KN, MN, PN
108.
109.
110.    def calc_coefficients():
111.        A = []
112.        B = []
113.        C = []
114.        D = []
115.
116.        for i in range(Data.x0, Data.l, Data.h):

```

```

117.         An = Data.Xn_minus_half(i) / Data.h
118.         Cn = Data.Xn_plus_half(i) / Data.h
119.         Bn = An + Cn + Data.p(i) * Data.h
120.         Dn = Data.f(i) * Data.h
121.
122.         A.append(An)
123.         B.append(Bn)
124.         C.append(Cn)
125.         D.append(Dn)
126.
127.     return A, B, C, D
128.
129.
130.     if __name__ == "__main__":
131.         a, b, c, d = calc_coefficients()
132.         # print(a)
133.         # print(b)
134.         # print(c)
135.         # print(d)
136.
137.         k0, m0, p0 = left_boundary_conditions()
138.         # print(k0)
139.         # print(m0)
140.         # print(p0)
141.
142.         kN, mN, pN = right_boundary_conditions()
143.         # print(kN)
144.         # print(mN)
145.         # print(pN)
146.
147.         T = thomas_algorithm(a, b, c, d, k0, m0, p0, kN, mN, pN)
148.         print(T)
149.         x = arange(Data.x0, Data.l, Data.h)
150.
151.         plt.title('Heating the rod')
152.         plt.grid(True)
153.         plt.plot(x, T, 'r', linewidth=0.5)
154.         plt.xlabel("Length (cm)")
155.         plt.ylabel("Temperature (K)")
156.
157.         plt.savefig("plot.png")

```

158.

159. `plt.show()`

### Ответы на вопросы:

1. Провести исследование по выбору оптимальных шагов по времени  $\tau$  и пространству  $h$ . Шаги должны быть максимально большими при сохранении устойчивости разностной схемы и заданной точности расчета.

Рассмотреть влияние на получаемые результаты амплитуды импульса  $F_{\max}$  и времени  $t_{\max}$  (определяют крутизну фронтов и длительность импульса).

Точность расчета можно оценить разными способами.

1) Уменьшая шаги и наблюдая сходимость решений, как это делалось в лаб. работе №1.

2) Проверая, соблюдается ли при выбранных  $h, \tau$  баланс мощности после выхода на стационарное распределение температуры (в установившемся режиме), реализующееся при  $F(t) = \text{const}$ , т.е. в этом режиме должно выполняться условие: подводимая мощность равна отводимой. Имеем

$$\pi R^2 (F_0 - F_N) = 2\pi R \int_0^l \alpha [T(x, t_M) - T_0] dx,$$

окончательно

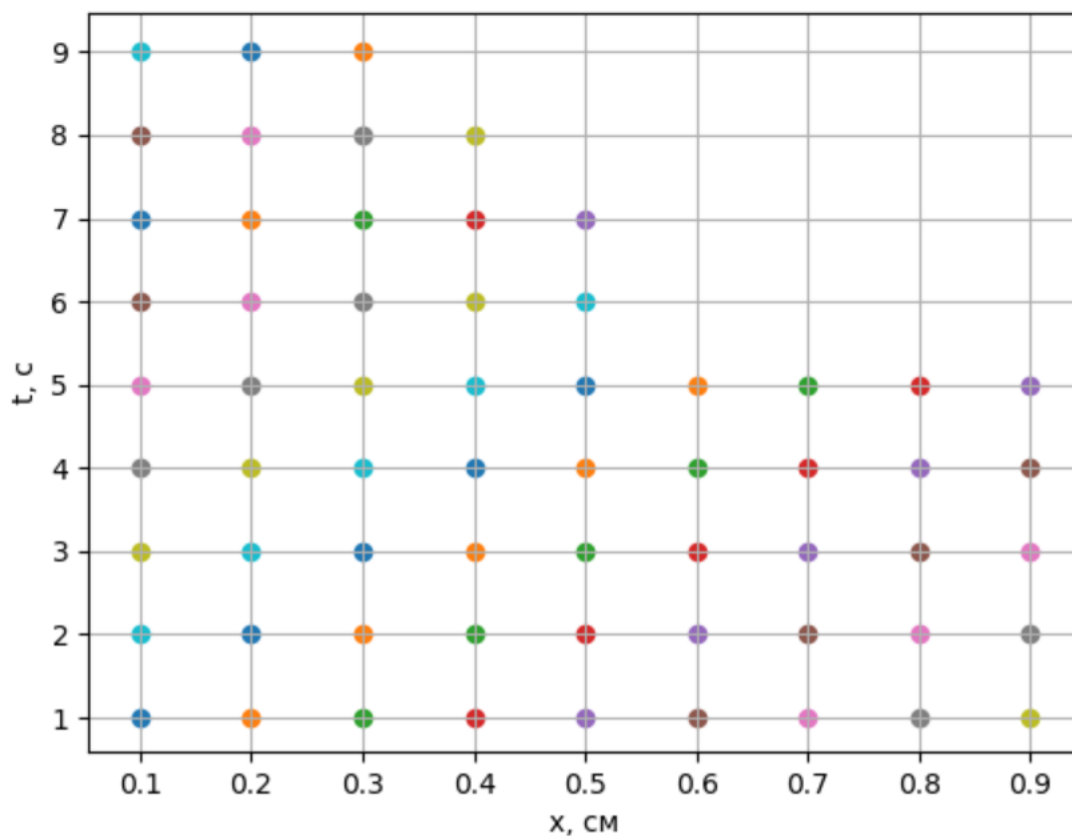
$$\left| \frac{F_0 - F_N}{\frac{2}{R} \int_0^l \alpha [T(x, t_M) - T_0] dx} - 1 \right| \leq \varepsilon. \quad (1)$$

Задать точность  $\varepsilon$  примерно  $10^{-2}$ . Здесь  $t_M$  - время выхода на стационарный режим, т.е. когда температура перестает меняться с заданной точностью (см. лаб. работу №4).

*Замечание.* Варьируя параметры задачи, следует иметь ввиду, что решения, в которых температура превышает значения примерно 2000К, физического смысла не имеют и практического интереса не представляют.

### Результат исследования:

Так как параметры неравенства (1) не зависят от  $\tau$ , это значит, что, баланс мощности после выхода на стационарное распределение температуры не зависит от шага по времени. Это можно наблюдать на следующем графике



Можно заметить, что баланс при шаге  $h > 0.3$  см не соблюдается.

Далее принимаем  $h = \text{const} = 0.3$  и изменяем шаг по времени

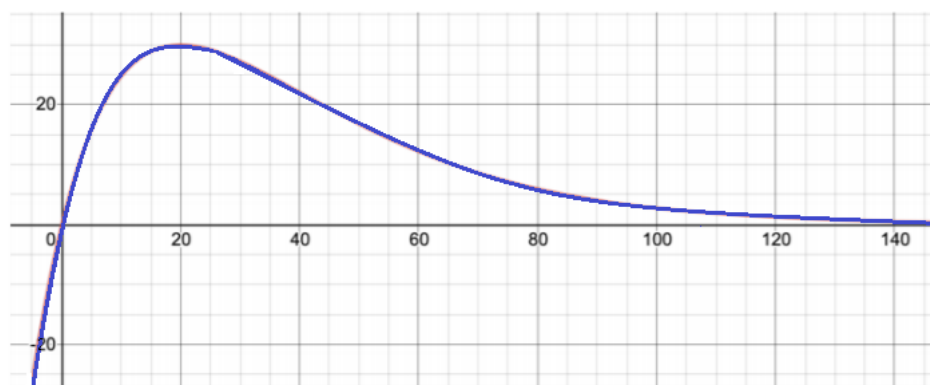




Рис.1 График функции  $F(t) = \frac{F_{max}}{t_{max}} e^{-\frac{t}{t_{max}-1}}$ , при  $F_{max} = 30, t_{max} = 20$

| x, см | T(t_i=18c), tau = 9c | T(t_i=18c), tau = 6c | T(t_i=18c), tau = 3c | T(t_i=18c), tau = 1c | T(t_i=18c), tau = 0.5c | T(t_i=18c), tau = 0.25c |
|-------|----------------------|----------------------|----------------------|----------------------|------------------------|-------------------------|
| 0.00  | 698.6470             | 704.7200             | 711.0016             | 715.4807             | 716.6590               | 717.2604                |
| 0.30  | 418.3414             | 420.1297             | 421.8280             | 423.0352             | 423.3699               | 423.5453                |
| 0.60  | 336.0523             | 336.0652             | 335.7837             | 335.4113             | 335.2971               | 335.2377                |
| 0.90  | 311.1787             | 310.8767             | 310.3318             | 309.7716             | 309.5989               | 309.5070                |
| 1.20  | 303.5058             | 303.2774             | 302.9144             | 302.5578             | 302.4482               | 302.3897                |
| 1.50  | 301.1088             | 300.9848             | 300.8021             | 300.6329             | 300.5826               | 300.5560                |
| 1.80  | 300.3532             | 300.2950             | 300.2157             | 300.1482             | 300.1294               | 300.1197                |
| 2.10  | 300.1132             | 300.0881             | 300.0568             | 300.0330             | 300.0269               | 300.0239                |
| 2.40  | 300.0365             | 300.0263             | 300.0147             | 300.0070             | 300.0053               | 300.0044                |
| 2.70  | 300.0118             | 300.0078             | 300.0037             | 300.0014             | 300.0010               | 300.0008                |

Рис. 2.1: Таблица  $T(x, 18)$ .

| x, см | T(t_i=72c), tau = 9c | T(t_i=72c), tau = 6c | T(t_i=72c), tau = 3c | T(t_i=72c), tau = 1c | T(t_i=72c), tau = 0.5c | T(t_i=72c), tau = 0.25c |
|-------|----------------------|----------------------|----------------------|----------------------|------------------------|-------------------------|
| 0.00  | 475.2750             | 475.2583             | 475.0150             | 474.7235             | 474.6338               | 474.5865                |
| 0.30  | 377.2207             | 377.5177             | 377.6289             | 377.5903             | 377.5658               | 377.5512                |
| 0.60  | 334.5280             | 334.9302             | 335.2299             | 335.3617             | 335.3849               | 335.3951                |
| 0.90  | 315.6171             | 315.9582             | 316.2606             | 316.4326             | 316.4709               | 316.4893                |
| 1.20  | 307.1179             | 307.3534             | 307.5833             | 307.7299             | 307.7652               | 307.7826                |
| 1.50  | 303.2566             | 303.4000             | 303.5499             | 303.6530             | 303.6790               | 303.6920                |
| 1.80  | 301.4907             | 301.5704             | 301.6581             | 301.7218             | 301.7385               | 301.7469                |
| 2.10  | 300.6810             | 300.7220             | 300.7680             | 300.8043             | 300.8138               | 300.8187                |
| 2.40  | 300.3099             | 300.3296             | 300.3525             | 300.3703             | 300.3752               | 300.3777                |
| 2.70  | 300.1403             | 300.1491             | 300.1593             | 300.1673             | 300.1696               | 300.1707                |
| 3.00  | 300.0632             | 300.0668             | 300.0708             | 300.0740             | 300.0748               | 300.0753                |
| 3.30  | 300.0283             | 300.0296             | 300.0309             | 300.0319             | 300.0322               | 300.0323                |
| 3.60  | 300.0126             | 300.0130             | 300.0133             | 300.0134             | 300.0134               | 300.0134                |
| 3.90  | 300.0056             | 300.0056             | 300.0056             | 300.0055             | 300.0054               | 300.0054                |
| 4.20  | 300.0024             | 300.0024             | 300.0023             | 300.0022             | 300.0021               | 300.0021                |

Рис. 2.2: Таблица  $T(x, 72)$ .

| x, см | T(t_i=144c), tau = 9c | T(t_i=144c), tau = 6c | T(t_i=144c), tau = 3c | T(t_i=144c), tau = 1c | T(t_i=144c), tau = 0.5c | T(t_i=144c), tau = 0.25c |
|-------|-----------------------|-----------------------|-----------------------|-----------------------|-------------------------|--------------------------|
| 0.00  | 310.8666              | 310.6081              | 310.3689              | 310.2208              | 310.1853                | 310.1678                 |
| 0.30  | 305.2961              | 305.0905              | 304.8990              | 304.7802              | 304.7516                | 304.7375                 |
| 0.60  | 302.7241              | 302.5850              | 302.4533              | 302.3707              | 302.3508                | 302.3410                 |
| 0.90  | 301.4626              | 301.3757              | 301.2913              | 301.2375              | 301.2244                | 301.2179                 |
| 1.20  | 300.8112              | 300.7600              | 300.7085              | 300.6748              | 300.6665                | 300.6624                 |
| 1.50  | 300.4604              | 300.4319              | 300.4018              | 300.3814              | 300.3763                | 300.3738                 |
| 1.80  | 300.2653              | 300.2503              | 300.2336              | 300.2218              | 300.2188                | 300.2173                 |
| 2.10  | 300.1542              | 300.1469              | 300.1382              | 300.1317              | 300.1300                | 300.1291                 |
| 2.40  | 300.0899              | 300.0867              | 300.0826              | 300.0793              | 300.0784                | 300.0779                 |
| 2.70  | 300.0524              | 300.0513              | 300.0496              | 300.0480              | 300.0476                | 300.0474                 |
| 3.00  | 300.0304              | 300.0302              | 300.0297              | 300.0292              | 300.0290                | 300.0289                 |
| 3.30  | 300.0176              | 300.0177              | 300.0177              | 300.0176              | 300.0176                | 300.0176                 |
| 3.60  | 300.0101              | 300.0103              | 300.0105              | 300.0106              | 300.0106                | 300.0106                 |
| 3.90  | 300.0057              | 300.0059              | 300.0062              | 300.0063              | 300.0063                | 300.0063                 |

Рис. 2.3: Таблица  $T(x, 144)$ .

Зафиксировав  $x_j$  и сравнивая значения  $T(x_j, t_i)$  при разных шагах  $\tau$ , можно заметить, что наиболее оптимальным шагом по времени является  $\tau = 1$  с., так как при  $\tau > 1$  погрешность  $T$  увеличивается, при  $\tau < 1$  погрешность уже незначительная и наблюдается сходимость решений.

2. График зависимости температуры  $T(0, t)$  при 3-4 значениях параметров  $a_2$  и/или  $b_2$  теплоемкости.

*Справка.* С ростом теплоемкости темп нарастания температуры снижается.

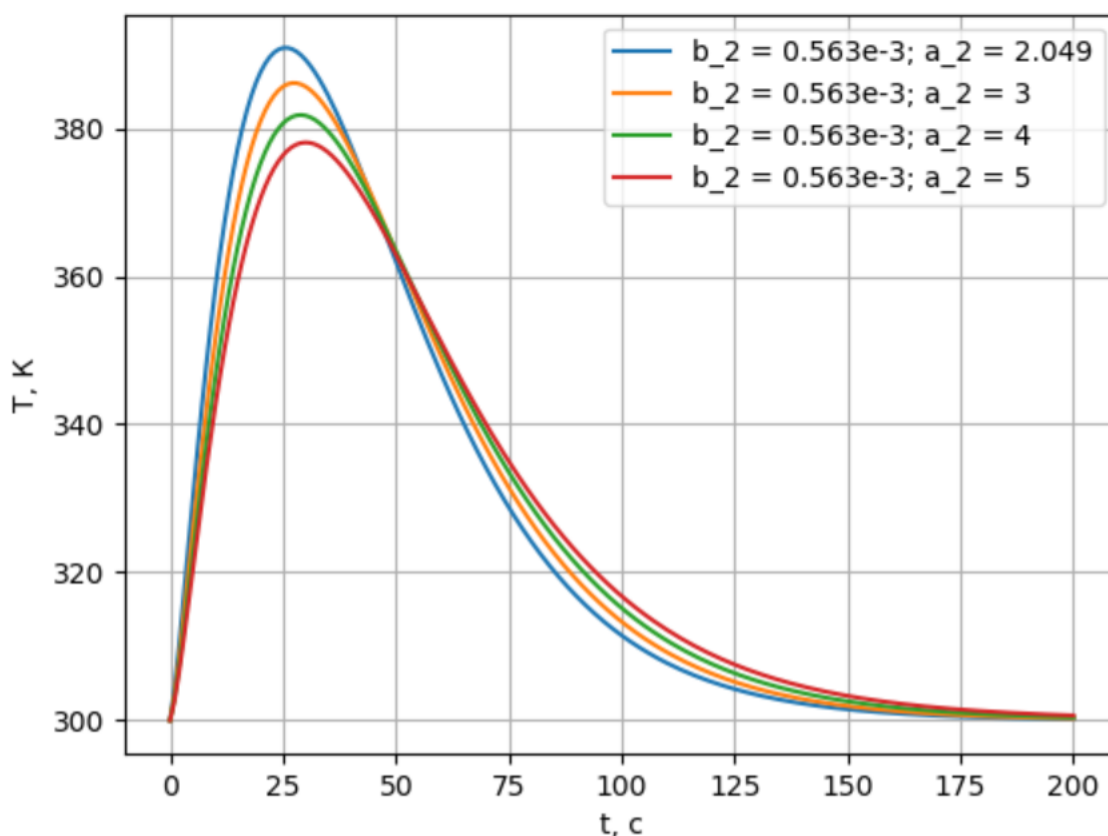


Рис. 3: График функции  $T(0, t)$  при значениях параметров  $a_2$  и/или  $b_2$  теплоемкости.

Из графика видно, что с увеличением значения теплоемкости рост температуры снижается

3. График зависимости температуры  $T(0, t)$  (т.е. при  $x = 0$ ) в частотном режиме теплового нагружения. Импульсы следуют один за другим с заданной частотой  $\nu$  (частота определяется количеством импульсов в 1 секунду).

Показать, что при большом количестве импульсов температурное поле начинает в точности воспроизводиться от импульса к импульсу.

Продемонстрировать, как по мере роста частоты импульсов размах колебаний температуры уменьшается (вплоть до нуля), т.е. реализуется квазистационарный

режим, при котором в торец поступает постоянный поток  $F_c = \nu \int_0^{t_u} F(t) dt$ . Здесь  $t_u$  -

длительность импульса, определяемая как момент времени, когда  $\frac{F(t_u)}{F_{\max}} \approx 0.05$ .

Если взять прямоугольные импульсы длительностью  $t_u$ , т.е.  $F(t) = \text{const} = F_0$ , то  $F_c = \nu F_0 t_u$ .

*Справка.* Полученное температурное поле должно совпасть с результатом расчета  $T(x)$  по программе лаб. работы №3 при  $F_0 = F_c$ , разумеется при всех одинаковых параметрах модели, в частности, вместо  $k(T)$  надо использовать  $k(x)$  из лаб. работы №3.

Графики:

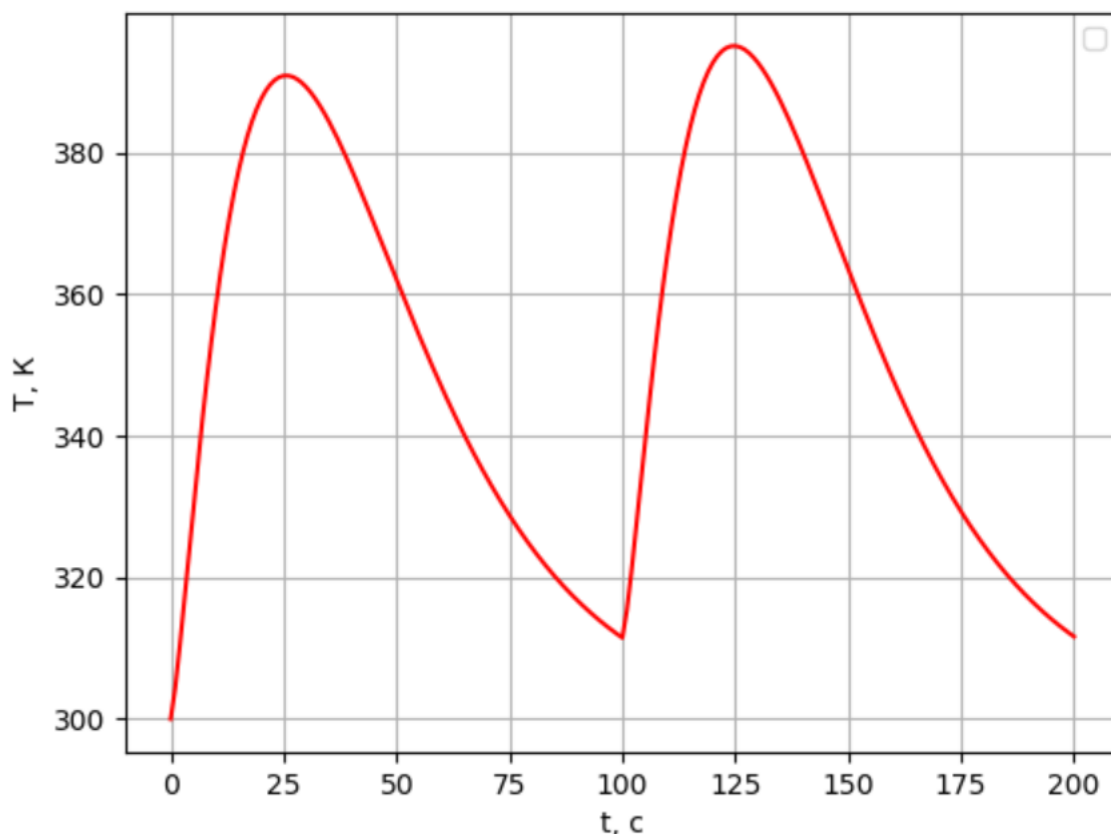


Рис. 4.  $\nu = 0.01 \frac{\text{Вт}}{\text{см}^2}$ ,  $h = 0.3$  см,  $t = 1$  с (значения, взятые из №1)

На графике можно наблюдать следующее явление. К моменту достижения амплитуды второго импульса первый импульс еще не успел до конца затухнуть, поэтому температура во время второго импульса больше, чем во время первого.

Теперь постепенно будем увеличивать частоту, пока не увидим совпадение с графиком из лабораторной работы №3.

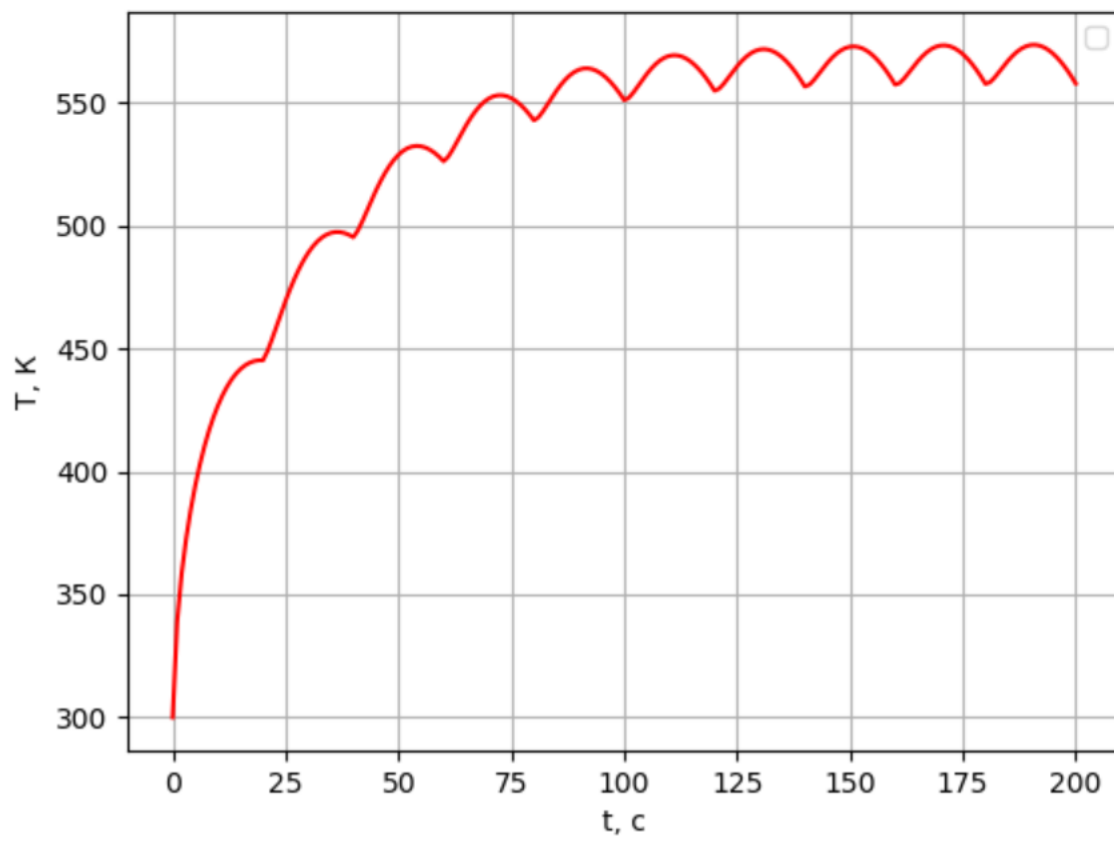


Рис. 5.1.  $\nu = 0.05 \frac{\text{Вт}}{\text{см}^2}$ ,

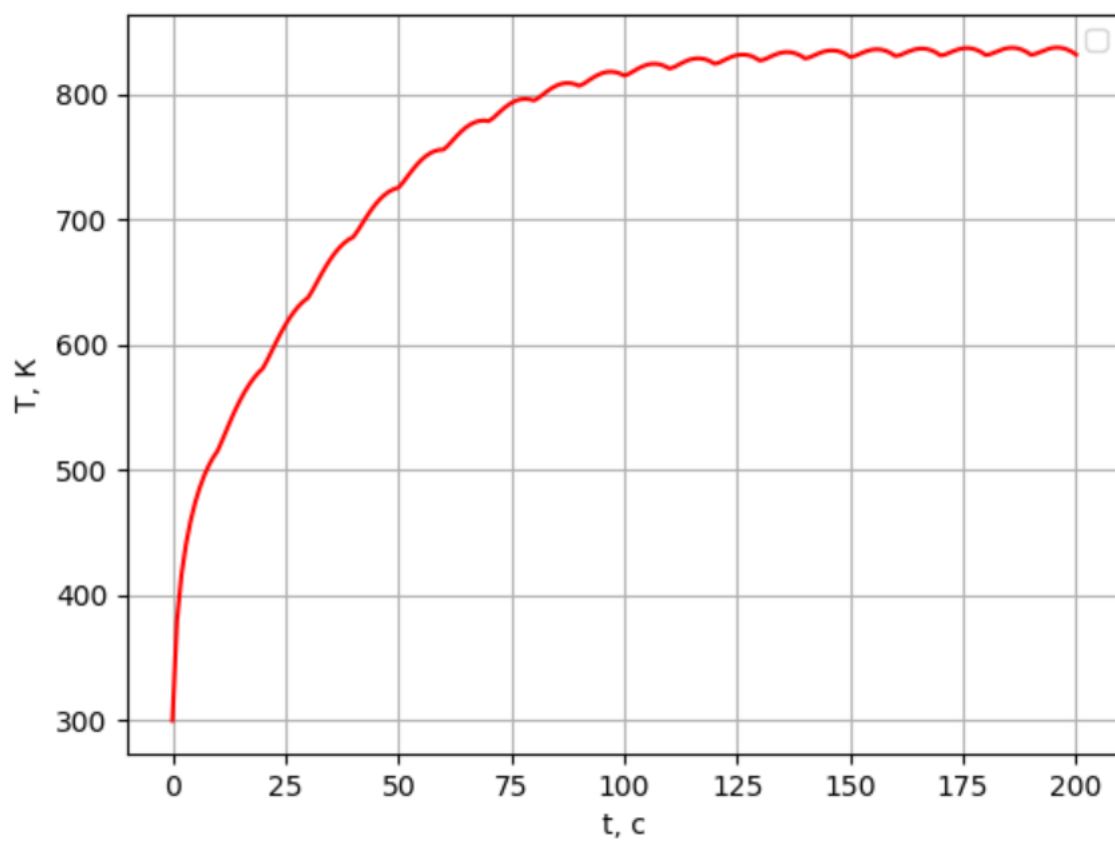


Рис. 5.2.  $\nu = 0.1 \frac{\text{Вт}}{\text{см}^2}$ ,

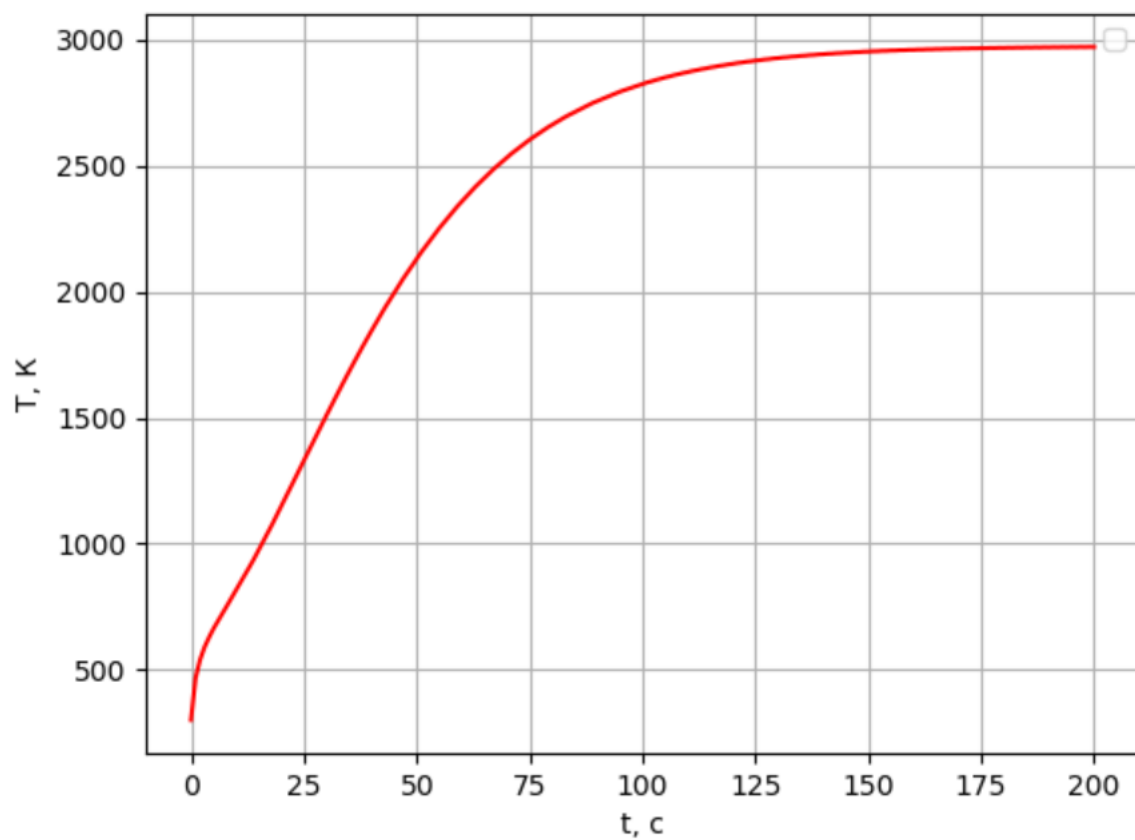


Рис. 5.2.  $\nu = 0.5 \frac{\text{Вт}}{\text{см}^2}$ ,

Можно заметить, что при  $\nu = 0.5 \frac{\text{Вт}}{\text{см}^2}$  температурное поле в точности воспроизводится от импульса к импульсу.

Также можно заметить, что при тех же параметрах, что и в лабораторной работе №3, графики функций  $T(x)$  совпадают